

## 一室箱桁における中央隔壁の曲げ振りに対する影響

室蘭工業大学 正員 能町純雄 ○ 尾崎誠

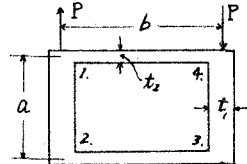
はじめに： さきに著者らは、断面の変形を考慮した矩形箱桁の曲げ振りに関する理論を発表し<sup>1)</sup>。断面の変形を考えた理論によれば、断面変形を無視した従来の理論値にくらべて、ある断面では5倍もの、そりたがりが生じ、単純ねじりの±45%（死荷重などの他の荷重を考えないで）にも相当する場合もあることを明らかにした。なお、理論式は断面の変形抵抗係数を無限大とした時、断面不变を仮定したところのBenscoterの理論式と一致し、模型実験でも、ひずみ計による測定結果が完全に理論値と合致し理論の妥当性を示した。今回はこれに加えて、桁の両端と支間中央に一ヶ所だけ隔壁を有する二軸対称矩形断面の單純箱桁をとり上げ、理論式に隔壁の抵抗力を導入して隔壁に働く力を求め、そりたがり、隔壁の曲げモーメントなど隔壁の厚さを変化させて計算し、隔壁の影響を明らかにした。

理論式： 箱桁を構成している各辺材を分離して、その個々について変形と剪断力との二次元応力的関係式を設定し、矩形断面の頂点における力のつりあいと適合条件と断面の変形抵抗の条件式から誘導するものである。いま、図-1ののような断面を考へると、変位剪断公式は次のようになる。

$$\begin{aligned} T_{12} = T_{34} &= \frac{Ea t_1}{b} \ddot{u} + \frac{\bar{S}_{12} - \bar{S}_{34}}{a} - \bar{z}_{12} - \bar{X}_{12} \\ T_{14} = T_{32} &= \frac{Eb t_2}{a} \ddot{u} + \frac{\bar{S}_{14} - \bar{S}_{32}}{b} - \bar{z}_{14} - \bar{X}_{14} \end{aligned} \quad \left. \right\} \quad \dots \dots \dots \quad (1)$$

これに、箱桁の斜めにおける剪断流、外力などのつりあいを考慮すると、

$$\frac{E(at_1+bt_2)}{2} \ddot{u} + \frac{1}{a} \bar{P} - 2\bar{z} - 2\bar{X} = 0 \quad \dots \dots \dots \quad (2)$$



(图-1)

となる。式中、 $\ddot{u}$  は箱の隅端における桁の軸方向の変位  $u$  ( $= u_1 = u_3 = -u_2 = -u_4$ ) を二度微分したもので、 $\bar{P}$ 、 $\bar{z}$  ( $= \bar{z}_{12} = \bar{z}_{34}$ )、 $\bar{X}$  ( $= \bar{X}_{12} = \bar{X}_{32}$ ) はそれぞれ、偶荷重、断面の変形抵抗力、隔壁の抵抗力を積分したものであることを示す。次に、部材の深さ方向の変位  $w$  が個々の辺部材ではどのままで一定であると仮定すれば、

$$Gt_1 w = -\frac{2Gt_1}{a} \dot{u} + \frac{1}{a} \bar{P} - \bar{z} - \bar{X} \quad \dots \dots \dots \quad (3)$$

より、断面変形角  $\Delta\psi$

$$Gt_1 b (\psi - \frac{\Delta\psi}{2}) - \frac{4Gt_1}{a} u = \frac{2}{a} \bar{P} - 2\bar{z} - 2\bar{X} \quad \dots \dots \dots \quad (4)$$

との関係を考えると、次

$$Gt_2 a (\psi + \frac{\Delta\psi}{2}) + \frac{4Gt_2}{b} u = 2\bar{z} + 2\bar{X} \quad \dots \dots \dots \quad (5)$$

式のようになる。

一方、ラーメン剛性を考慮すると断面の変形抵抗力は断面の変形抵抗力とモーメントの関係に、右かみ角公式と節点のまわりのモーメントのつりあいから求まつた結果を適用して次式のようになります。

$$\dot{z} = G_o \cdot \Delta\psi \quad \dots \dots \dots \quad (6)$$

ただし、変形抵抗係数：  $G_o = \frac{2Et_1^3 t_2^3}{ab(bt_1^3 + at_2^3)}$

以上9(4), (5), (6)式から(7)式、(2), (6)式から(8)式の基本微分方程式が表まる。

$$Gt_1 t_2 ab \Delta\ddot{\psi} + 8Gt_1 t_2 \dot{u} = 2G_o (t_1 b + t_2 a) \Delta\psi + 2(t_1 b + t_2 a) X - 2t_2 P \quad \dots \dots \dots \quad (7)$$

$$E(at_1 + bt_2) \ddot{u} + \frac{6}{a} P - 12G_o \Delta\psi - 12X = 0 \quad \dots \dots \dots \quad (8)$$

数値計算：  $x = C$  の3位置に隔壁があり、 $x = x_0$  の3位置に单一偶荷重  $P$  が作用する場合を計算すれば、 $\ddot{u}$ 、 $\Delta\psi$ 、 $X$ 、 $P$  を級数に展開して(7),(8)式に代入し、連立して解けば、 $\dot{u}_0 = E\ddot{u}$ 、 $M_{12} = \frac{1}{6}abG_o\Delta\psi$  が、それこれ、次のようになされる。

$$\bar{\Omega}_w = \frac{12\ell P}{\pi^2(aT_1+bt_2)} \sum_m \frac{m^2+nH}{m^4+2nKm^2+nH} \sin \frac{m\pi x}{\ell} \sin \frac{m\pi z}{\ell} - \frac{24\ell X}{\pi^2(aT_1+bt_2)} \sum_m \frac{m^2}{m^4+2nKm^2+nH} \sin \frac{m\pi c}{\ell} \sin \frac{m\pi z}{\ell} \quad \dots(9)$$

$$M_{12} = \frac{n\ell P}{\pi^2 T_1} \sum_m \frac{m^2 + J}{m^4+2nKm^2+nH} \sin \frac{m\pi x}{\ell} \cos \frac{m\pi z}{\ell} - \frac{n\ell (bt_1+at_2)X}{\pi^2 T_1 T_2} \sum_m \frac{m^2}{m^4+2nKm^2+nH} \sin \frac{m\pi c}{\ell} \sin \frac{m\pi z}{\ell} \quad \dots(10)$$

なお、 $X$  は、 $x=c$  のとき  $X = Gt_1 t_2 \phi$  なる条件から次式で表わされる。容易に計算できる。

$$X \left\{ \frac{1}{\ell} + \frac{4K}{\ell} \sum_m \frac{m^2 + L}{m^4+2nKm^2+nH} \sin \frac{m\pi c}{\ell} \sin \frac{m\pi z}{\ell} \right\} = \frac{4LP}{\pi^2 abt_1} \sum_m \frac{m^2 + J}{m^4+2nKm^2+nH} \sin \frac{m\pi c}{\ell} \sin \frac{m\pi z}{\ell} \quad \dots(11)$$

$$\text{たゞし、上記諸式中}, \quad n = \frac{G_0}{G}, \quad K = \frac{\ell^2(bt_1+at_2)}{abT_1 T_2 \pi^2}, \quad H = \frac{48\ell^4}{ab(1+\nu)(at_1+bt_2)\pi^4}$$

$$J = \frac{2\ell^2(bt_1-at_2)}{abT_1 T_2 \pi^2}, \quad L = \frac{12T_1 T_2}{a(1+\nu)(at_1+bt_2)\pi^2}, \quad L = \frac{2at_2}{bt_1+at_2} \cdot J$$

諸数値を次のようになって計算する。

支間:  $\ell = 30\text{m}$ , 柱高:  $a = 150\text{cm}$ , 中:  $b = 400\text{cm}$

隔壁の厚さ:  $t = 0, 1, 2, 5, \dots \infty \text{ cm}$ ,  $t$  を変化させ。

肉厚:  $\begin{cases} A \text{ 断面の場合}, t_1 = t_2 = 15\text{ cm} \\ B \text{ 断面の場合}, t_1 = 40\text{ cm}, t_2 = 20\text{ cm} \end{cases}$

これらの値によつて、 $\bar{\Omega}_w, M_{12}$  の影響線を計算した。

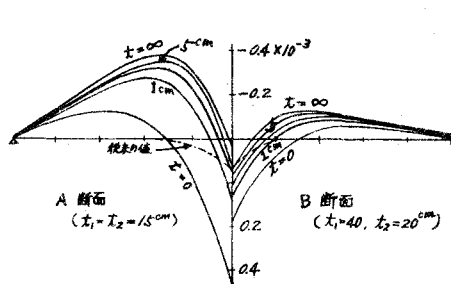
(図-2) は  $x = \frac{\ell}{2}$  处における  $\bar{\Omega}_w$  の影響線を示した。この図では A 断面および B 断面について、それそれぞれ支間の左右に隔壁のない場合 ( $t=0$ ) と  $t=1\text{ cm} \sim \infty$  までの隔壁を有する場合とを示しており、実線で従来の理論値が小さくなることをつけ加えている。(図-3) は隔壁からかなり離れた  $x = \frac{\ell}{4}$  处の  $\bar{\Omega}_w$  の影響線を A, B 両断面について示してある。隔壁のある場合を実線で、ない場合を虚線で示しているが、ほんの両者は一致し、隔壁の影響のあとはなりこむことを示している。また、(図-4) では  $x = \frac{\ell}{2}$  处と  $x = \frac{\ell}{4}$  处における  $M_{12}$  の影響線を同時に示した。隔壁位置では隔壁の効果が 100% 示されため  $x$  軸とほとんど一致してしまが、離れてはほんの隔壁の効果がないことを示している。この効果のあとは距離を  $x = \frac{\ell}{4}$  へ  $\frac{\ell}{2}$  の影響線を計算し、その最大値をアロットして調べてみると、隔壁の位置から  $\frac{\ell}{10}$  を離れるごとに効果が半減することがわかった。しかも、いまはのように剛な隔壁を入れても、隔壁のない場合と大差ないことを知ることができる。

おわりに: このような断面に限つて次のような結論を得た。

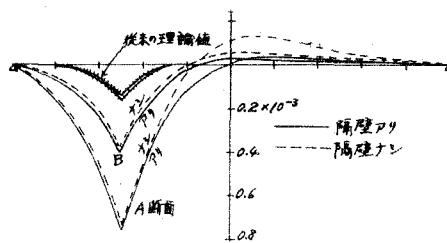
- 集中的に剛な(厚い)隔壁を入れても効果はない。すこし薄い隔壁の断面形を剛にした方がよい。
- 隔壁による効果を期待するのであれば相手密に( $\frac{1}{10}$ 程度)でききだけ薄い隔壁を入れるとよい。
- この限界は、 $T_2 = \frac{x}{\ell}$  からわかるが、柱底を含めて考えても、コンクリートの施工限度まで薄くできる。

参考文献: 1) 能町・尾崎: 断面の変形を考慮した矩形箱柱の挙動について。

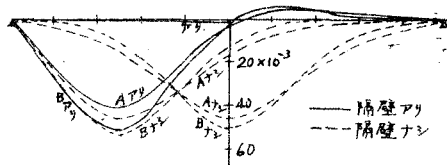
土木学会北海道支部研究発表会, 88.4.2. 技術資料第22号。



(図-2) 支間における  $\bar{\Omega}_w$  の影響線



(図-3) 支間における  $\bar{\Omega}_w$  の影響線



(図-4) 支間、 $\frac{l}{4}$  处における  $M_{12}$  の影響線